

図-2-3 最大曲げモーメント

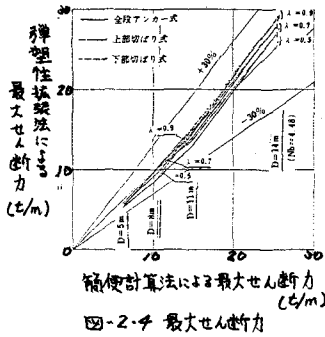


図-2-4 最大せん断力

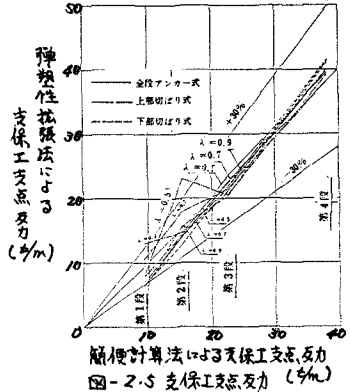


図-2-5 支保工支反力 (%)

3. 上段切ばり式の場合の切ばり軸力の計算方法の検討

簡便計算法を特導するにあたり下記の事項を前提とし、

- ① 各掘削段階における最下切ばり支保工の最大値を求める。
- ② 切ばり式工留工の簡便計算法によって求められる切ばり支保工に対して補正係数を乗じて求める。
- ③ 補正係数は影響を与える各要因による関数として表わす。

4) 方針

検討の対象とする地盤の種類及び切ばり段数は、表-3-1のとおりとする。

- 補正係数に影響を与える要因として
- 各次平均掘削厚さ (h)
 - 地盤の粘着力による 内部摩擦角 (Cまたはφ)
 - 土留壁の曲がり剛性 (EI)
 - 切ばりアンカーのバネ係数比 (λ)
 - 有効プレストレス導入率 (α)

上記の各要因に對する値を材料定数と適當に組合せて、各ケース毎に簡便計算法と弾塑性拡張法による切ばり支保工力と求め両者の比により補正係数を求める。

$$\xi = \frac{W^*}{W}$$

W* : 弾塑性拡張法による切ばり支保工力
 W : 簡便計算法による切ばり支保工力
 ξ : 補正係数

次に先の5つの要因により補正係数の近似式を設定する。

$$\xi_n = 10^{x_1 + x_2} \cdot C \cdot \phi^{x_3} \cdot (EI/1000)^{x_4} \cdot \lambda^{x_5} \cdot \alpha^{x_6}$$

上記中の指数x₁~x₆はξ_nが計算モデルより得られる値を近似するように最小自乗法における。

(2) 簡便計算法の特導

計算モデルの各種条件は、図-3-1に示すとおりである。

最小自乗法の計算の結果、近似式は以下のようになる。

(3) 簡便計算法の適用性

弾塑性拡張法による切ばり支保工力(W*)及び簡便計算法による支保工力(ξ_n·W)との比較を、図-3-2に示す。殆どがξ_n·W/W* ≒ 0.80~1.20の範囲にあり、範囲外のものは安全側の値と考えるのみで、間差はないと考えられる。

粘り土 (1段切ばり)

$$\xi_n = \frac{333 \times 10^{-11} \cdot (EI/1000)^{0.44} \cdot \lambda^{0.16}}{0.04 \cdot C^{0.27} \cdot \alpha^{0.22}} \geq 1.0$$

粘り土 (2段切ばり)

$$\xi_n = \frac{130 \cdot (EI/1000)^{0.22} \cdot \lambda^{0.14}}{0.04 \cdot C^{0.25} \cdot \alpha^{0.04}} \geq 1.0$$

砂質土 (1段切ばり)

$$\xi_n = \frac{830 \times 10^{-13} \cdot \alpha^{1.27} \cdot (EI/1000)^{0.37} \cdot \lambda^{0.18}}{0.152 \cdot \alpha^{0.030}} \geq 1.0$$

砂質土 (2段切ばり)

$$\xi_n = \frac{856 \times 10^{-13} \cdot \alpha^{0.84} \cdot (EI/1000)^{0.19} \cdot \lambda^{0.18}}{0.129 \cdot \alpha^{0.04}} \geq 1.0$$

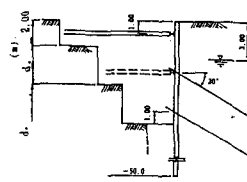


図-3-1

- 粘り土 (水あり) の場合、水位は G.L.-3.00m とし静水圧分布を仮定する。
- 掘削深さ (D ≦ 15 m) 及び安定係数 (N₀ < 4) の場合を考慮する。

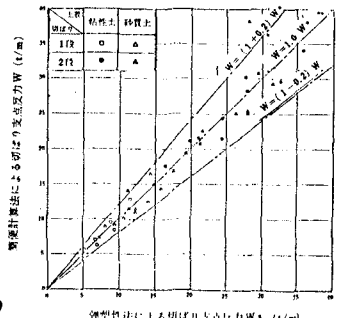


図-3-2 切ばり支保工力に對する簡便計算法の調査

(4) あとがき

以上の検討は、以下の事項がわかる。

- ① 全段アンカー式及び下部切ばり式においては、λ ≧ 0.5 (λ: 有効プレストレスの設計アンカー力に対する比) の範囲に對して、切ばり式工留工の簡便計算法が使用できる。
- ② 上部切ばり式に對しては、λ ≧ 0.5 の範囲における土留壁の応力計算には切ばり式工留工の簡便計算法が使用できるものの、腹起し、切ばりの設計に用いる側圧により腹起しに作用する彎力分布荷重 (W) の計算には切ばり式工留工に對する簡便計算法により得られる値に式(3.1)に示される補正係数を乗じて求めることができる。